

М. Е. Бабешко, В. Г. Савченко

**ОБ УЧЕТЕ ТРЕТЬЕГО ИНВАРИАНТА ДЕВИАТОРА НАПРЯЖЕНИЙ ПРИ  
РАСЧЕТЕ ПРОЦЕССОВ ДЕФОРМИРОВАНИЯ ТОНКИХ ОБОЛОЧЕК**

*Институт механики им. С.П.Тимошенко НАНУ,  
ул. Нестерова, 3, 03057, Киев, Украина; e-mail: plast@inmech.kiev.ua*

**Abstract.** A technique for the numerical study of the elastoplastic axisymmetric stress-strain state of thin shells in the non-isothermal deformation processes along the trajectories of small curvature with allowance for the repeated plastic strains and the third invariant of stress deviator is elaborated. A numerical analysis of the stress-strain state of shell during the processes of heating and cooling is given.

**Key words:** non-isothermal deformation process, repeated plastic strains, residual stress-strain state.

**Введение.**

Во многих тонкостенных элементах конструкций в виде оболочек вращения, работающих в условиях неизотермического нагружения, в процессе нагрева и остывания возникают зоны пластических деформаций, в которых может происходить разгрузка как по упругому закону, так и сопровождающаяся возникновением вторичных пластических деформаций, уменьшающих первоначальные пластические деформации. Численный анализ напряженно-деформированного состояния (НДС) таких элементов конструкций в процессе нагружения и остаточного состояния после снятия нагрузки и остывания необходим для оценки их прочности и работоспособности, особенно в случаях, когда конструкция подвергается неоднократному термосиловому нагружению. При таком анализе следует учитывать факторы, влияющие на рабочие и прочностные характеристики конструкции – зависимость свойств материалов от температуры и вида напряженного состояния (ВНС), историю нагружения, и др.

Известно, что свойства некоторых конструкционных материалов зависят от ВНС при невысоких температурах только в области развитых пластических деформаций, но при высоких температурах эта зависимость проявляется и при малых деформациях, не превышающих 6%.

В работе [7] изложена методика численного исследования НДС элементов конструкций в виде тонких оболочек вращения, учитывающая зависимость свойств материала от температуры, возникновение, развитие и изменение пластических деформаций в процессе переменного осесимметричного неизотермического нагружения, и проанализировано остаточное НДС конкретной оболочки. Однако зависимость свойств материала от ВНС не была учтена. В некоторых работах [6 и др.] описаны методики и решены задачи по определению упругопластического НДС и прочности оболочек с учетом ВНС, но в них не рассматривались процессы, сопровождающиеся появлением вторичных пластических деформаций. В настоящее время неизвестны работы, в которых исследуются процессы термосилового нагружения оболочек с учетом ВНС, сопровождающиеся вторичными пластическими деформациями. В отличие от [6, 7], в данной статье изложена методика, позволяющая исследовать процессы неизотермического нагружения с учетом ВНС, при которых в элементах оболочек

происходит неоднократное изменение направленности процесса. В качестве параметра ВНС использован угол подобия девиаторов [4], называемый также [2, 6, 8, 9 и др.] углом ВНС, который вычисляется через второй и третий инварианты девиатора напряжений. Выполнен анализ полученных по изложенной методике результатов в процессе переменного неизотермического нагружения и определено остаточное НДС конкретной оболочки.

### 1. Постановка задачи и основные соотношения.

Рассмотрим составную оболочку вращения, первоначально находящуюся в ненапряженном и недеформированном состоянии при температуре  $T = T_0$ , а затем подвергнутую действию силовых нагрузок и неравномерного нагрева. Предполагаем, что оболочка изготовлена из изотропного материала, свойства которого зависят от температуры и ВНС; меридиан оболочки может состоять из конечного числа звеньев разной геометрии. Оболочка отнесена к криволинейной ортогональной системе координат  $s, \theta, \zeta$ , связанной с недеформированной непрерывной координатной поверхностью;  $s$  ( $s_a \leq s \leq s_b$ ) – меридиональная координата,  $s_a, s_b$  – координаты, соответствующие торцам оболочки;  $\theta$  ( $0 \leq \theta \leq 2\pi$ ) – окружная координата;  $\zeta$  ( $\zeta_0 \leq \zeta \leq \zeta_k$ ) – координата, отсчитываемая по нормали к координатной поверхности;  $\zeta_0$  и  $\zeta_k$  соответствуют внутренней и наружной поверхностям оболочки; толщина оболочки  $h = \zeta_k - \zeta_0$ . В качестве координатной поверхности выбирается срединная либо одна из поверхностей оболочки. Предполагаем, что в процессе нагружения материал оболочки деформируется в пределах и за пределами упругости; в областях пластических деформаций может происходить разгрузка с возможным появлением вторичных пластических деформаций, уменьшающих первоначальные, после чего возможно повторное нагружение с возникновением пластических деформаций того же знака, что и первоначальные.

В области вторичных пластических деформаций предполагается, что уменьшение предела текучести материала равно его увеличению в момент разгрузки при первоначальном нагружении, т.е. материал обладает идеальным эффектом Баушингера [5, 10, 11]. Деформации ползучести предполагаются пренебрежимо малыми по сравнению с упругими и пластическими составляющими. Температурное поле оболочки принимаем известным, полученным путем решения соответствующей задачи теплопроводности либо из других источников.

Задачу термопластичности решаем в квазистатической постановке с использованием гипотез Кирхгофа – Лява и соотношений геометрически линейной теории оболочек [3]. Для решения задачи процесс нагружения разбиваем на ряд этапов таким образом, чтобы моменты разбиения как можно лучше соответствовали моментам изменения направленности процесса деформирования в элементах оболочки. В качестве уравнений состояния используем соотношения экспериментально обоснованной модифицированной теории процессов деформирования по траекториям малой кривизны [8, 9, 16], учитывающие зависимость свойств материала от температуры и ВНС. Они записаны в предположении соосности девиаторов напряжений и дифференциалов неупругих составляющих деформаций. Уравнения содержат две нелинейные зависимости, включающие параметр ВНС; одна из них выражает связь между первыми инвариантами тензоров напряжений и деформаций, а вторая – связь между вторыми инвариантами соответствующих девиаторов. Для конкретизации этих зависимостей используют базовые опыты на пропорциональное нагружение трубчатых образцов при различных постоянных значениях угла ВНС и нескольких значениях температуры из рассматриваемого диапазона. Опыты проводятся со скоростями нагружения, не влияющими на форму получаемых зависимостей.

Известно [8], что учет нелинейной зависимости между первыми инвариантами тензоров напряжений и деформаций незначительно влияет на результаты расчетов, поэтому при решении краевых задач для упрощения алгоритма можно использовать эту зависимость в традиционном линейном виде. При предположении о линейной связи между первыми инвариантами тензоров напряжений и деформаций и независи-

мости от ВНС связи между вторыми инвариантами соответствующих девиаторов рассматриваемые определяющие уравнения превращаются в соотношения теории процессов деформирования по траекториям малой кривизны [16, 17 и др.], которые описывают те же процессы, что и традиционные теории пластичности [2, 4, 12, 13, 18 и др.], ассоциированные с условием Мизеса [15].

Используемые в данной статье определяющие уравнения, учитывающие ВНС, линейризованные методом дополнительных напряжений [16], записываем в форме закона Гука с дополнительными членами

$$\sigma_{ij} = 2G\varepsilon_{ij} + (K - 2G)\varepsilon_0\delta_{ij} - \sigma_{ij}^{(d)}; \quad (1)$$

$$\sigma_{ij}^{(d)} = 2G \left[ e_{ij}^{(p)} + \frac{1+\nu}{1-2\nu} \varepsilon_T \delta_{ij} \right], \quad (2)$$

где  $\sigma_{ij}$ ,  $\varepsilon_{ij}$  – компоненты тензоров напряжений и деформаций, соответственно;  $K = E/(1-2\nu)$ ;  $E = 2G(1+\nu)$ ;  $\varepsilon_T = \alpha_T(T - T_0)$ ;  $E$ ,  $G$ ,  $\nu$  и  $\alpha_T$  – модуль упругости, модуль сдвига, коэффициент Пуассона и коэффициент линейного теплового расширения материала, зависящие от температуры  $T$ ;  $T_0$  – начальная температура;  $e_{ij}^{(p)} = \varepsilon_{ij}^{(p)}$  – компоненты пластических составляющих деформаций;  $\varepsilon_0 = \varepsilon_{ii}/3$  – первый инвариант тензора деформаций, связанный с первым инвариантом тензора напряжений  $\sigma_0 = \sigma_{ii}/3$  зависимостью

$$\sigma_0 = K(\varepsilon_0 - \varepsilon_T). \quad (3)$$

В рассматриваемом случае осесимметрично нагруженной оболочки вращения при отсутствии кручения ее напряженное состояние характеризуется компонентами  $\sigma_{ss}, \sigma_{\theta\theta}$ , а деформированное – компонентами  $\varepsilon_{ss}, \varepsilon_{\theta\theta}, \varepsilon_{\zeta\zeta}$ . Уравнения (1) имеют вид

$$\sigma_{ss} = A_{11}\varepsilon_{ss} + A_{12}\varepsilon_{\theta\theta} - A_{1D}, \quad \sigma_{\theta\theta} = A_{12}\varepsilon_{ss} + A_{22}\varepsilon_{\theta\theta} - A_{2D} \quad (4)$$

$$\left[ \begin{aligned} A_{11} = A_{22} = \frac{E}{1-\nu^2} \quad ; \quad A_{12} = \nu A_{11}; A_{1D} = A_{11} \left( e_{ss}^{(p)} + \nu e_{\theta\theta}^{(p)} \right) + A_{11} (1+\nu) \varepsilon_T; \\ A_{2D} = A_{11} \left( e_{\theta\theta}^{(p)} + \nu e_{ss}^{(p)} \right) + A_{11} (1+\nu) \varepsilon_T \end{aligned} \right]. \quad (5)$$

Входящие в (5) пластические составляющие компонент деформации  $e_{ss}^{(p)} = \varepsilon_{ss}^{(p)}$ ,  $e_{\theta\theta}^{(p)} = \varepsilon_{\theta\theta}^{(p)}$ ,  $e_{\zeta\zeta}^{(p)} = -(\varepsilon_{ss}^{(p)} + \varepsilon_{\theta\theta}^{(p)})$  на произвольном этапе  $M$  вычисляются как сумма приращений  $\Delta$  этих компонент

$$e_{ss}^{(p)} = \sum_{m=1}^M \Delta_m e_{ss}^{(p)}; \quad \Delta_m e_{ss}^{(p)} = \langle c_{ss} \rangle_m \Delta_m \Gamma_p; \quad \langle c_{ss} \rangle_m = \left\langle \frac{2\sigma_{ss} - \sigma_{\theta\theta}}{S} \right\rangle_m (s, \theta), \quad (6)$$

где угловые скобки означают средние на этапе значения заключенных в них величин,  $S$  – интенсивность касательных напряжений,

$$S = \left[ \frac{1}{3} (\sigma_{ss}^2 - \sigma_{ss}\sigma_{\theta\theta} + \sigma_{\theta\theta}^2) \right]^{1/2}, \quad (7)$$

$\Gamma_p$  – интенсивность накопленной пластической деформации сдвига,

$$\Gamma_p = \sum_{m=1}^{M-1} \Delta_m \Gamma_p + \Delta_M \Gamma_p. \quad (8)$$

Для определения  $\Delta_M \Gamma_p$  используется предположение, что между интенсивностью касательных напряжений  $S$ , интенсивностью деформаций сдвига

$$\Gamma = \left[ \frac{(\varepsilon_{ss} - \varepsilon_{\theta\theta})^2 + (\varepsilon_{\theta\theta} - \varepsilon_{\zeta\zeta})^2 + (\varepsilon_{\zeta\zeta} - \varepsilon_{ss})^2}{6} \right]^{1/2},$$

температурой  $T$  и углом ВНС  $\omega_\sigma$  существует зависимость, которая при первоначальном нагружении имеет вид

$$S = \Phi(\Gamma, T, \omega_\sigma), \quad (9)$$

$$\omega_\sigma = \frac{1}{3} \arccos \left[ -\frac{3\sqrt{3}}{2} \frac{I_3(D_\sigma)}{S^3} \right] \quad (0 \leq \omega_\sigma \leq \pi/3), \quad (10)$$

где  $I_3(D_\sigma)$  – третий инвариант девиатора напряжений  $D_\sigma$ , равный определителю  $D_\sigma$ .

Заметим, что угол ВНС  $\omega_\sigma$  связан с параметром Лоде [14] простой зависимостью [2]: отличие заключается в том, что  $\omega_\sigma$  определяется не через главные напряжения как параметр Лоде, а через инварианты девиатора напряжений.

В работах [8, 9] предложено вычислять зависимость (9) по результатам вышеупомянутых базовых опытов. В соответствии с описанной в [8, 9] методикой, по результатам экспериментов на пропорциональное нагружение трубчатых образцов (при нескольких постоянных значениях температуры из рассматриваемого диапазона) строятся зависимости  $S \sim \Gamma$  для нескольких значений угла ВНС  $0 \leq \omega_\sigma \leq \pi/3$  и каждого из значений температуры; для промежуточных значений  $\omega_\sigma$  и  $T$  зависимости  $S \sim \Gamma$  определяются интерполяцией. Предполагается, что

$$\Gamma = \frac{S}{2G} + \Gamma_p, \quad (11)$$

где  $\Gamma_p$  определяется формулой (8); при упругой разгрузке  $\Gamma = \frac{S}{2G} + \Gamma_p^{(1)}$ , где  $\Gamma_p^{(1)}$  – интенсивность накопленной пластической деформации сдвига (8) в момент разгрузки. В том случае, когда разгрузка сопровождается вторичными пластическими деформациями, используется зависимость

$$S = \Phi_1(\Gamma, \Gamma_p^{(1)}, T, \omega_\sigma). \quad (12)$$

Зависимость (12) строим, используя (9), величину  $\Gamma_p^{(1)}$  и соответствующее значение  $S^{(1)}$  в момент разгрузки. При повторном нагружении используется зависимость

$$S = \Phi_2(\Gamma, \Gamma_p^{(2)}, T, \omega_\sigma). \quad (13)$$

Используя (9), величину интенсивности накопленной вторичной пластической деформации  $\Gamma_p^{(2)}$  и соответствующее значение  $S^{(2)}$  в момент разгрузки в области вторичных пластических деформаций, строим зависимость (13). При построении зависимостей (12) и (13) предполагаем, что

$$S_T^{(1)} + S_T^{(2)} = S_T^{(2)} + S_T^{(3)} = 2S_T^{(1)}, \quad (14)$$

где  $S_T^{(1)}$ ,  $S_T^{(2)}$ ,  $S_T^{(3)}$  – значения интенсивности касательных напряжений, соответствующих пределам текучести материала в зависимостях (9), (12), (13).

Таким образом, зависимости (9), (12), (13) используем для определения прираще-  
ния  $\Delta_M \Gamma_p$  за текущий этап нагружения в процессе последовательных приближений.

Соотношения (4), (5) используем для установления связи между усилиями  $N_s, N_\theta$ , моментами  $M_s, M_\theta$ , деформациями и изменениями кривизны  $\varepsilon_s, \varepsilon_\theta, \kappa_s, \kappa_\theta$  координатной поверхности оболочки. Эту связь получаем в виде

$$\begin{aligned} N_s &= C_{11}^{(0)} \varepsilon_s + C_{12}^{(0)} \varepsilon_\theta + C_{11}^{(1)} \kappa_s + C_{12}^{(1)} \kappa_\theta - N_{1D}^{(0)}; \\ N_\theta &= C_{12}^{(0)} \varepsilon_s + C_{22}^{(0)} \varepsilon_\theta + C_{12}^{(1)} \kappa_s + C_{22}^{(1)} \kappa_\theta - N_{2D}^{(0)}; \\ M_s &= C_{11}^{(1)} \varepsilon_s + C_{12}^{(1)} \varepsilon_\theta + C_{11}^{(2)} \kappa_s + C_{12}^{(2)} \kappa_\theta - N_{1D}^{(1)}; \\ M_\theta &= C_{12}^{(1)} \varepsilon_s + C_{22}^{(1)} \varepsilon_\theta + C_{12}^{(2)} \kappa_s + C_{22}^{(2)} \kappa_\theta - N_{2D}^{(1)} \end{aligned} \quad (15)$$

$$\left[ C_{mn}^{(j)} = \int_{\varepsilon_0}^{\varepsilon_k} A_{mn} \varepsilon^j d\varepsilon, \quad N_{mD}^{(j)} = \int_{\varepsilon_0}^{\varepsilon_k} A_{mD} \varepsilon^j d\varepsilon \quad (m, n = 1, 2; j = 0, 1, 2) \right]. \quad (16)$$

Полученные соотношения (15), (16) вместе с уравнениями равновесия и геометриче-  
скими соотношениями [3] образуют систему 12 уравнений, которую приводим к си-  
стеме шести обыкновенных дифференциальных уравнений относительно неизвестных  
функций  $N_s, Q_s, M_s, u, w, \vartheta_s$ , где  $Q_s$  – перерезывающее усилие;  $u, w$  – переме-  
щения точек координатной поверхности в меридиональном и нормальном направлениях;  
 $\vartheta_s$  – угол поворота нормали к координатной поверхности. Эта система имеет вид

$$\frac{d\vec{Y}}{ds} = P(s)\vec{Y} + \vec{f}(s) \quad (17)$$

при граничных условиях

$$B_1 \vec{Y}(s_a) = \vec{b}_1, \quad B_2 \vec{Y}(s_b) = \vec{b}_2, \quad (18)$$

где  $\vec{Y}$  – вектор-столбец разрешающих функций;  $\vec{Y} = \{N_s, Q_s, M_s, u, w, \vartheta_s\}$ ;  $P(s)$  –  
матрица системы;  $\vec{f}(s)$  – вектор-столбец дополнительных слагаемых;  $B_1, B_2$  – задан-  
ные матрицы;  $\vec{b}_1, \vec{b}_2$  – заданные векторы-столбцы граничных условий. Компоненты  
матрицы  $P(s)$  и вектора-столбца  $\vec{f}(s)$  вычисляются по формулам, приведенным в  
[7]. Из этих формул следует, что элементы матрицы  $P(s)$  зависят от геометрии обо-  
лочки и упругих свойств материала при температуре на рассматриваемом этапе, а  
компоненты вектора  $\vec{f}(s)$  – еще и от внешних нагрузок и пластических деформаций,  
которые необходимо уточнять в процессе последовательных приближений с учетом  
угла  $\omega_\sigma$ .

Приведенные соотношения позволяют определить НДС оболочки на произ-  
вольном этапе нагружения.

## 2. Алгоритм решения задачи.

Для проведения вычислений необходимо задать геометрию оболочки, условия за-  
крепления и нагружения, а также свойства ее материала. Последние задаются в виде  
таблиц зависимостей  $S \sim \Gamma$  (9) для нескольких значений температуры и нескольких  
значений угла  $\omega_\sigma$  для каждого значения температуры, коэффициентов Пуассона и  
линейного теплового расширения в зависимости от температуры. Разбивку на этапы  
удобно выполнить таким образом, чтобы на первом этапе оболочка деформировалась  
упруго.

На первом этапе нагружения в первом приближении в (5) полагаем  $e_{ss}^{(p)} = e_{\theta\theta}^{(p)} = 0$ , т.е. решаем задачу термоупругости. На следующих этапах в первом приближении принимаем значения пластических составляющих деформаций (6), полученные на предыдущем этапе, а в следующих приближениях используем значения, полученные в предыдущем приближении. Эти значения используем для вычисления компонент вектора-столбца  $\vec{f}(s)$ , а элементы матрицы  $P(s)$  вычисляем, используя заданные свойства материала в зависимости от температуры в первом приближении на данном этапе, и не меняем в процессе приближений. После вычисления элементов матрицы  $P(s)$  и компонент вектора-столбца  $\vec{f}(s)$  решаем краевую задачу (17), (18) путем сведения ее к задачам Коши, для решения которых используем метод Рунге – Кутты с дискретной ортогонализацией [1]. Получив в результате решения краевой задачи разрешающие функции, определим компоненты деформаций, а по ним – компоненты напряжений (4), по которым вычисляем угол  $\omega_\sigma$  (10). Далее вычисляем

$$\Delta_M \Gamma_p = \sum_{i=1}^{L-1} \Delta_{Mi} \Gamma_p + \Delta_{ML} \Gamma_p; \quad \Delta_{ML} \Gamma_p = \frac{S - S^{(d)}}{2G}, \quad (19)$$

где  $L$  – номер текущего приближения на этапе  $M$ . В (19) значение  $S$  вычисляем по формуле (7), а  $S^{(d)}$  определяем из зависимостей (9), (12) и (13), полученных для соответствующих значений температуры и угла  $\omega_\sigma$ , соответственно, при первоначальном нагружении, в области вторичных пластических деформаций и при повторном нагружении. При первоначальном активном нагружении используем зависимость (9). В качестве критерия активного нагружения принимаем условие  $\Delta \Gamma_p > 0$ ; в противном случае в элементе оболочки происходит разгрузка, т.е. полагаем  $\Delta \Gamma_p = 0$  и продолжаем расчет. В случае разгрузки при изменении знака первого инварианта тензора напряжений  $\sigma_0 = (\sigma_{ss} + \sigma_{\theta\theta})/3$  используем зависимость (12). Аналогично, при разгрузке в области вторичных пластических деформаций и перемене знака  $\sigma_0$  переходим к использованию зависимости (13). Процесс последовательных приближений на этапе завершается при выполнении условия

$$|\Delta_{ML} \Gamma_p| \leq \delta, \quad (20)$$

где  $\delta$  – наперед заданное число. Следует заметить, что начальная разбивка на этапы может оказаться недостаточной, поэтому после анализа результатов необходимо выполнить следующий расчет с удвоенным количеством этапов. Удвоение количества этапов продолжается до получения результатов, совпадающих с заданной точностью на последнем этапе в двух расчетах при разной разбивке. Расчетная практика показала, что при решении задачи с учетом ВНС количество приближений на этапе увеличивается по сравнению с решением этой же задачи без учета ВНС и зависит от влияния ВНС на диаграммы деформирования материала.

### 3. Числовые результаты.

Эффективность разработанного алгоритма проверена путем решения тестовых задач. В частности, определено НДС цилиндрической оболочки радиуса срединной поверхности 0,1м, толщины 0,01м и длины 0,1м под действием осевого усилия  $N_s^*$  и внутреннего давления  $q_c$  при равномерном нагреве оболочки до температуры  $T_0 = 573K$ . Начальная температура оболочки  $T_0 = 293K$ . Оболочка изготовлена из сплава X18H10T [6, 8, 9]. Значения нагрузок и температуры на 26 этапах заданы в табл. 1.

Таблица 1

Номер этапа	1	3	9	12	13	17	18	19	20	21	26
$N_s^* \cdot 10^{-3}, \text{Н/м}$	120	160	284	20	-20	-250	-220	-20	20	140	284
$q_c, \text{МПа}$	6	8	14,2	1	0	0	0	0	1	7	14,2
$T, \text{К}$	293	373	573	293	293	293	293	293	293	343	573

На всех этапах граничные условия были заданы в виде:

$$\text{при } s = s_a: Q_s = 0, u = 0, \mathcal{Q}_s = 0; \text{ при } s = s_b: N_s = N_s^*, Q_s = 0, \mathcal{Q}_s = 0.$$

При таких условиях нагружения в оболочке осуществляется однородное НДС. Задача решена с учетом ВНС по описанной методике в процессе последовательных приближений с точностью (20)  $\delta = 0,00001$ . Результаты решения были сопоставлены с решением этой же задачи, полученным без процесса последовательных приближений, как статически определимой. Результаты такого решения совпадают с данными, полученными по описанной методике, с заданной точностью. Это подтверждает эффективность и точность предложенного алгоритма. Построенная по полученным результатам в виде сплошной

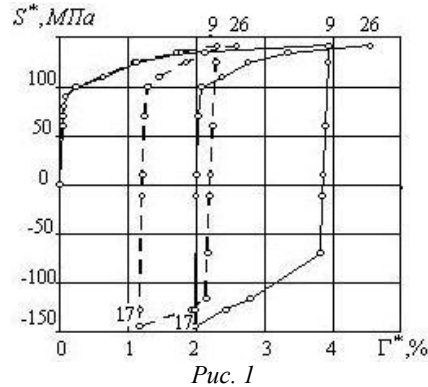


Рис. 1

линии зависимость  $S^* \sim \Gamma^*$ , где  $S^* = \text{sign}(\sigma_0) \cdot S$ ,  $\Gamma^* = \text{sign}(\varepsilon_0 - \varepsilon_T) \cdot \Gamma$ , приведена на рис. 1; штриховая линия соответствует решению задачи без учета ВНС; маркеры соответствуют концам этапов, а числа – номерам этапов. В силу того, что напряжения в этой задаче определяются нагрузкой, при заданном номере этапа результаты, полученные с учетом и без учета ВНС, отличаются только по деформациям. Различия в деформациях начинают проявляться с 7-го этапа и увеличиваются с ростом температуры и пластических деформаций. При максимальных значениях нагрузки и температуры в процессе первоначального нагружения (9-й этап) интенсивность деформаций сдвига в расчете с учетом ВНС увеличилась по сравнению с расчетом без учета ВНС на 72%, а к концу исследуемого процесса это увеличение достигло 76%.

Разработанная методика использована для определения НДС цилиндрической оболочки в процессе осесимметричного нагружения и нагрева, разгрузки и полного остывания. Радиус срединной поверхности оболочки 0,2 м, длина 0,8 м, толщина 0,02 м; начальная температура оболочки  $T_0 = 293 \text{ К}$ . Оболочка подвергнута на протяжении 60 сек нестационарному нагреву, а также действию возрастающей распределенной нагрузки  $q_c$  и приложенного к контуру  $s = s_b$  усилия  $N_s^* = 20q_c$ . Затем нагрев прекращается, а силовая нагрузка уменьшается до нуля на 120 сек.

Температурное поле оболочки при конвективном теплообмене с окружающей средой в процессе нагрева и дальнейшего остывания определено путем решения задачи теплопроводности по методике [16]. Процесс термосилового нагружения оболочки разбит на 31 этап неравномерно по времени. Номера этапов и соответствующие им моменты времени и значения распределенной нагрузки  $q_c$  приведены в табл. 2.

Таблица 2

№ этапа	1	2	6	8	9	10	12	15	21	26	31
t, сек	1,0	2,0	23,0	50,0	60,0	61,0	62,0	65,0	75,0	90,0	120,0
$q_c, \text{МПа}$	0,1	10	16	16,5	16,5	16,5	15	12	4	0	0

Граничные условия имеют вид:

$$\text{при } s = s_a: Q_s = 0, u = 0, \vartheta_s = 0; \text{ при } s = s_b: Q_s = 0, M_s = 0, N_s = N_s^*.$$

Вычисленное в результате решения задачи теплопроводности распределение температуры по толщине оболочки на некоторых этапах показано на рис. 2 – а) при  $s = s_a$ , б) – при  $s = s_b$ ; сплошные линии соответствуют нагреву на этапах 2, 4, 6, 9 при отсчете снизу вверх, а штриховые – остыванию на этапах 12, 15, 21 и 31 – при отсчете сверху вниз. Более интенсивный нагрев был со стороны поверхности  $\zeta = -h/2$ .

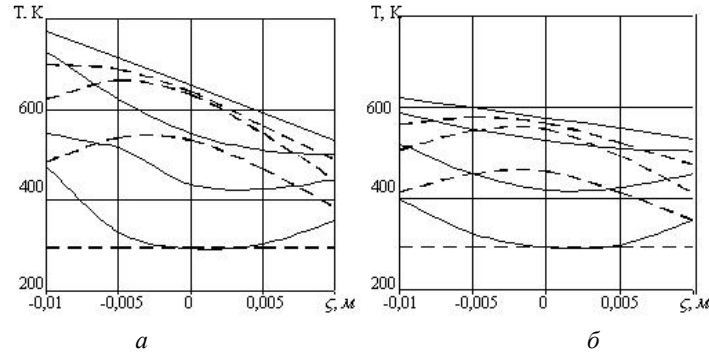


Рис. 2

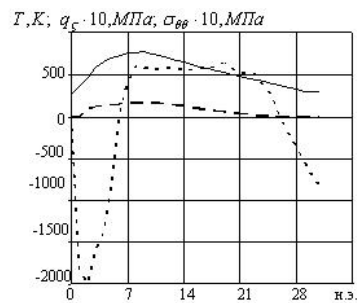


Рис. 3

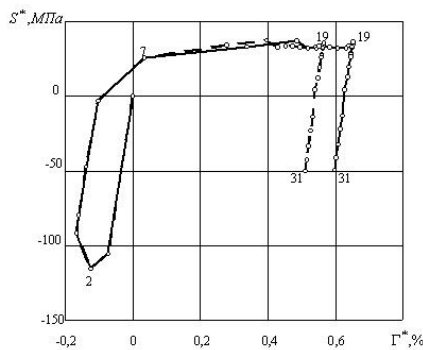


Рис. 4

На рис. 3 для наглядности показано сплошной линией изменение в исследуемом процессе температуры в окрестности наиболее нагретой точки ( $s = s_a, \zeta = -h/2$ ); штриховая линия соответствует изменению нагрузки  $10 q_\zeta$ .

В результате решения задачи установлено, что в данном процессе неизотермического нагружения весь материал оболочки переходит в пластическое состояние, а затем в некоторых элементах накопление пластических деформаций сменяется разгрузкой, сопровождающейся появлением и развитием вторичных пластических деформаций. Возникли две области вторичных пластических деформаций – у внутренней и внешней поверхностей. Затем в некоторых элементах происходит разгрузка, а далее – повторное нагружение с возникновением пластических деформаций того же знака, что и при первоначальном нагружении.

На рис. 4 сплошной линией показана зависимость  $S^* \sim \Gamma^*$  для элемента оболочки в окрестности точки ( $s = s_a, \zeta = -h/2$ ), где температура достигала максимального значения;

маркеры соответствуют этапам, а числа – номерам этапов. Из рис. 4 следует, что в этом элементе после первоначального нагружения с возникновением пластических деформаций сначала произошла разгрузка, а затем повторное нагружение с появлением и развитием пластических деформаций противоположного знака по отно-



шению к первоначальным, после чего опять произошла упругая разгрузка. В течение исследуемого процесса происходило изменение не только величины, но и знака компонент НДС оболочки. Для примера на рис. 3 пунктирной линией показано изменение напряжения  $\sigma_{\theta\theta}$  в зависимости от номера этапа для элемента оболочки с координатами ( $s = s_a, \zeta = -h/2$ ).

Для определения влияния учета ВНС на НДС оболочки в рассмотренном процессе термосилового нагружения был выполнен расчет без учета ВНС. Некоторые результаты двух расчетов приведены на рис. 5 – 8. На рис. 5 и 6 показаны распределения вдоль меридиана для  $\zeta = -h/2$  компонент напряжений, а на рис. 7 и 8 – компонент деформаций; сплошные линии соответствуют расчету с учетом ВНС, а штриховые – без учета ВНС; линии без маркеров соответствуют 9-у этапу нагружения, а с маркерами – 31-у этапу, т.е. остаточным значениям компонент НДС оболочки.

Из анализа приведенных результатов можно сделать вывод, что на компоненты напряжений учет ВНС влияет незначительно, а величины компонент деформаций с учетом ВНС с ростом температуры ( $T \geq 573K$ ) увеличились по сравнению с соответствующими значениями без учета ВНС; в области максимальных деформаций это увеличение достигло 22%. Аналогично увеличилось значение интенсивности деформаций сдвига, что видно из рис. 4, где штриховой линией показана зависимость  $S^* \sim \Gamma^*$ , полученная без учета ВНС.

Следует заметить, что в исследуемом процессе неизотермического нагружения деформирование оболочки происходило в области малых деформаций, не превышающих 2%. Этот факт подтверждает необходимость оценки зависимости свойств материала конструкции от ВНС в диапазоне рабочих температур и при наличии такой зависимости – необходимость учета ВНС для получения более достоверных значений компонент НДС в оболочках при термосиловом нагружении.

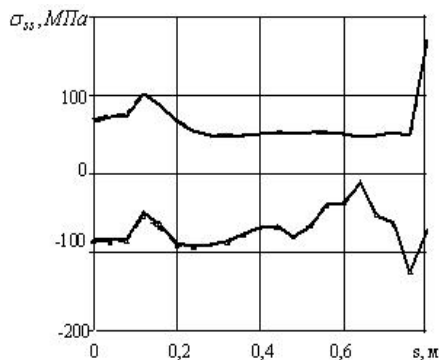


Рис. 5

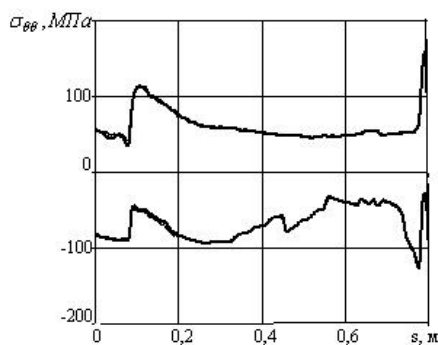


Рис. 6

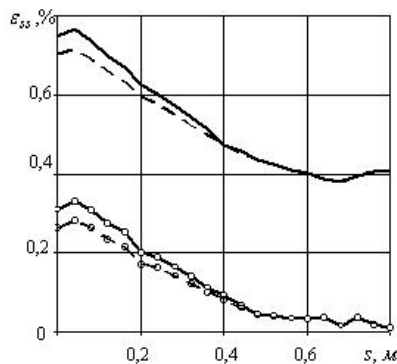


Рис. 7

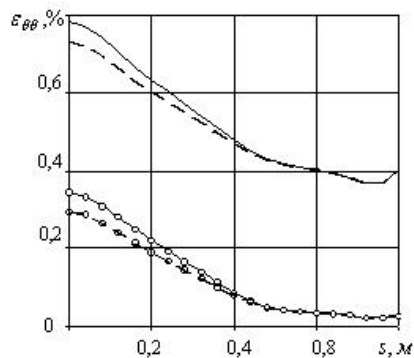


Рис. 8

### Заклученне.

Предложена методика численнага даследавання осесіметрычнага напружана-деформаванага стану тонкіх абалочек у працэсах пераменнага неізатэрмічнага награвання з улікам віда напружанага стану. Методика аснова на іспольванні эксперыментальна абаснаваных вызначаючых ураўненняў, апісваючых працэсы неупругага дэформавання ізатропных матэрыялаў з улікам віда напружанага стану ўздоў траекторій малай крывізны, і гіпотэз Кірхгофа – Лява. У якавстве параметра віда напружанага стану іспольван угол віда напружанага стану, вызлісваемы праз другі і трэці інварыянты дэвіятара напружанняў. Методика дазваляе вызначыць НДС абалочки як на произвольном этапе награвання і награвання, так і астаточнае становішча пасля зняцця награвання і поўнага астывання. Выканана аналіз лічбовых рэзультатаў па даследаванні канкрэтнай абалочки і паказана ўплывае ўліка віда напружанага стану на рэзультаты расчыта.

Р Е З Ю М Е . Розроблена методіку лічбелнага даслідвання пружнапластычнага осесіметрычнага напружана-деформаванага стану тонкіх абалочек у працэсах неізатэрмічнага дэформавання ізатропнага матэрыялу ўздоўж траекторій малай крывізны з ўрачуванням вторінных пластычных дэформацый і трэцяга інварыянта дэвіятара напружанняў. Выканана лічбелны аналіз напружана-деформаванага стану абалочки ў працэсі награвання та вичахання.

1. Григоренко Я.М., Василенко А.Т. Теория оболочек переменной жесткости. – К.: Наук. думка, 1981. – 544 с. – (Методы расчыта абалочки: В 5-ти т.; Т. 4).
2. Качанов Л.М. – Основы теории пластичности. – М.: ГИТТЛ, 1956. – 324 с.
3. Новожилов В.В. Теория тонких оболочек. – Л.: Судпромгиз, 1962. – 432 с.
4. Работнов Ю.Н. Механика деформируемого твердого тела. – М.: Наука, 1979. – 744 с.
5. Abel A., Muir H. The Bauschinger effect and discontinuous yielding // Philosophical Magazine. – 1972. – 26, N 2. – P. 489 – 504.
6. Babeshko M.E., Galishin A.Z., Semenets A.I., Shevchenko Yu.N. Influence of the Stress Mode on the Strength of High-Pressure Vessels // Int. Appl. Mech. – 2015. – 51, N 3. – P.319 – 325.
7. Babeshko M.E., Savchenko V.G. Analyzing Processes of Nonisothermal Loading of Shells of Revolution with Allowance for Repeated Plastic Strains // Int. Appl. Mech. – 2017. – 53, N 6. – P. 639 – 646.
8. Babeshko M.E., Shevchenko Yu.N., Tormakhov N.N. Approximate Description of the Inelastic Deformation of an Isotropic Material with Allowance for the Stress Mode // Int. Appl. Mech. – 2010. – 46, N 2. – P. 139 – 148.
9. Babeshko M.E., Shevchenko Yu.N., Tormakhov N.N. Thermoviscoplasticity Theory Incorporating the Third Deviatoric Stress Invariant // Int. Appl. Mech. – 2015. – 51, N 1. – P. 85 – 91.
10. Bauschinger J. Über die Veränderung der Elastizitätsgrenze und des Elastizitätsmoduls verschiedener Metalle // Civilingenieur. – 1881. – P. 289 – 348.
11. Bauschinger J. Über die Veränderung der Elastizitätsgrenze und der Festigkeit des Eisens und Stahls durch Strecken und Quetschen durch Erwärmen und Abkühlen und durch oftmals wiederholte Beanspruchung. – Mitteilung XV aus dem Mech. – München: Techn. Labor., 1886. – S. 1 – 116.
12. Freudental A.M., Geiringer H. The Mathematical Theories of the Inelastic Continuum. – Berlin: Springer Verlag, 1958. – 432 p.
13. Hill R. The Mathematical Theory of Plasticity. – Oxford: Clarendon Press, 1950. – 350 p.
14. Lode W. Versuche über den Einfluss der mittleren Hauptspannung auf das Fließen der Metalle – Eisen, Kupfer und Nickel // Z. Physik. – 1926. – 36. – P. 913 – 939.
15. Mises R. Mechanik der festen Körper im plastisch deformablen Zustand // Göttingen Nachrichten, Mathematisch – Physikalisch Klasse, Göttingen. – 1913. – 4. – P. 582 – 592.
16. Shevchenko Yu.N., Savchenko V.G. Three-Dimensional Problems of Thermoviscoplasticity: Focus on Ukrainian Research (Review) // Int. Appl. Mech. – 2016. – 52, N 3. – P.217 – 271.
17. Steblyanko P.A., Shevchenko Yu.N. Computational Methods in Stationary and Nonstationary Thermal – Plasticity Problems. In.: «Encyclopedia of Thermal Stresses. In. 11 volumes (Ed. R.B.Hetnarski). – New York, Dordrecht: Springer, 2014. – 2, C-D. – P. 507 – 1084». – P. 623 – 630.
18. Życzkowski M. Combined Loadings in the Theory of Plasticity. – Warszawa: PWN, 1981. – 714 p.

Поступила 28.02.2017

Утверждена в печать 10.10.2017